

爐內快速加熱經驗 汇編

第一机械工业部 新技术宣传推广所 汇集
工艺院热处理研究所



机械工业出版社

爐內快速加熱經驗匯編

第一机械工业部 新技术宣传推广所 汇集
工艺院热处理研究所



机械工业出版社

1958

出版者的話

本書是第一机械工业部新技术宣傳推广所、工艺院热处理研究所及天津拖拉机厂共同负责于58年8月在天津召开的「爐內快速加热現場經驗交流会」的資料汇編。这次會議中各厂介绍了电爐、反焰爐以及其他爐型的經驗，同时也介绍了淬火、正火、回火和锻造的加热經驗，加热的鋼种和产品非常广泛，这就提供了在各方面应用快速加热的可能性。本汇編中共选載了十篇資料，这些資料都是这次「爐內快速加热現場經驗交流会」上比較典型的經驗介紹，对各厂是很有参考价值的。

本汇編可供各机械制造厂及从事热处理工作的技术員和工人参考。

NO. 2527

1958年12月第一版 1958年12月第一版第一次印刷

850×1168^{1/32} 字数 89 千字 印張 3⁹/16 0,001—6,800 册

机械工业出版社(北京阜成門外百万庄)出版

机械工业出版社印刷厂印刷 新华书店發行

北京市書刊出版业营业許可証出字第008号 定价(11) 0.75元

热处理与锻造工作中，加热时间的长短，是影响生产率提高的重要关键。苏联专家捷格治廖夫同志来中国工作期间，曾在各厂推行炉内快速加热，颇具成效。此种加热方法在于利用原有设备，仅借提高炉温来达到加速工件升温的目的。经验证明，此种加热方法不但在经济效果方面可以大大地节约电力，燃料，提高设备利用率，在质量方面并无逊色。同时快速加热的实践，完全解除了旧的加热理论的束缚。因而我们认为炉内快速加热是一种技术革新，是符合于多快好省的社会主义建设总路线的，应该大力推广。

第一机械工业部新技术宣传推广所，工艺院热处理试验所及天津拖拉机厂共同负责于58年8月23~26日在天津召开了炉内快速加热现场经验交流会。通过会议使我们更进一步认识到此项新技术的推行须建立在破除迷信解放思想的基础上，过去推行此种加热方法的各厂，都是由于冲破了旧的加热理论的束缚，大胆试用后获得了成效。因此可以设想在整风运动伟大胜利的基础上，我们热处理与锻造加热工作将会提高到一个新的阶段。

通过这次会议交流，肯定了快速加热可以减少变形的论点。虽然在理论上还做的不够，但是实践证明这一论点是正确的。

过去一段时期中，由于各厂大胆革新的结果，炉内快速加热已在各种热处理工艺和锻造方面普遍开花，这次会议中各厂介绍了电炉，反焰炉以及其他炉型的经验，同时也介绍了淬火、正火、回火和锻造的加热经验，加热的钢种、产品非常广泛，这就提供了在各方面应用快速加热的可能性。

快速加热无论作为一个加热方法或者作为一个减少变形的工艺，都必须要依靠工厂和学校研究单位的协力合作，进一步做些工

4
作，使得爐內快速加热能进一步提高和深入。發展成为热处理与
鍛造的典型加热方法之一。

大会認為今后的工作方向应是：

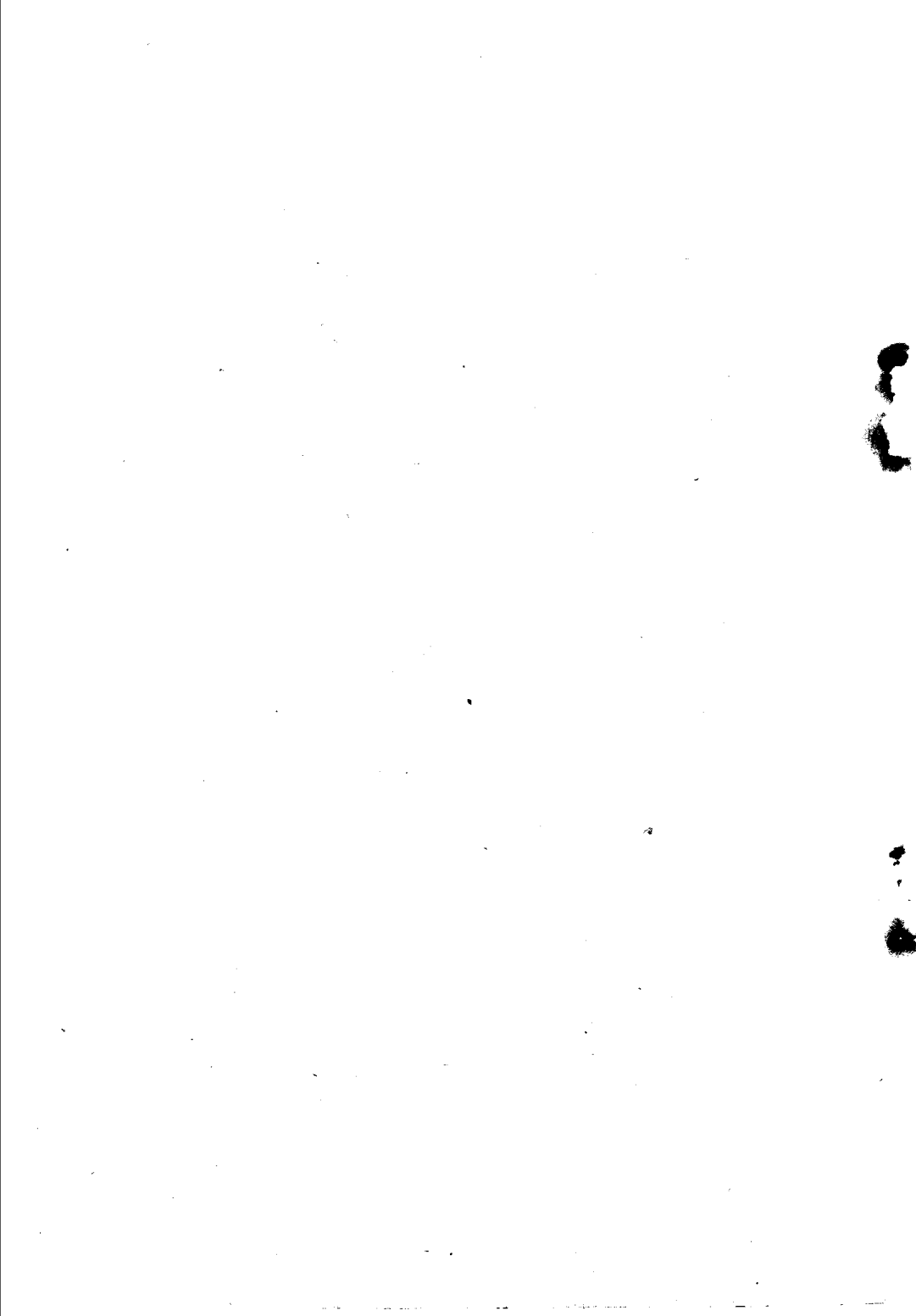
(1) 理論上应从减少变形的理論，快速回火对断面上应力
消除的影响，鋼种过热敏感性对快速加热的影响，以及对大断面
工件表面与心部机械性能的影响等問題进行进一步的研究。

(2) 實踐上除繼續扩大爐內快速加热的应用范围并稳定具
体工件的操作規程外，应針對大型工件加以推广。

本彙編中所刊載的十篇資料是这次現場經驗交流会上比較典
型的經驗介紹。供各單位參考使用。

目 录

前 言	3
爐內快速加热時間系数的試驗	7
天津拖拉机制造厂关于推行快速加热法的报告	18
热处理爐內快速加热法試用小結	26
快速加热在汽車变速齒輪及轉向节热处理中的应用	41
碳鋼鍛件快速正火处理	59
鋼錠的快速加热總結	67
热处理快速加热總結	72
碳素工具鋼冷冲模的快速加热	93
碳素工具鋼模具減少热处理变形的方法	101
型鍛模的快速加热	110



爐內快速加热時間系数的試驗

机械制造与工艺科学研究院热处理研究所

一 試驗目的

为探求在爐內快速加热淬火工艺中钢材的表面溫度的适宜范围，結合不同爐型与爐溫，提出适当的加热時間系数，并与生产中現行的加热系数进行印証。

二 理論根據

很容易想到在一般加热淬火时，工件到达淬火溫度后要保溫一段时间，以使内外溫度均匀，奧氏体有时间来轉变完成和成分均匀，但是在爐內快速加热时，工件以一定的速度升到一定的溫度后立即取出冷却，并沒有保溫时间，那末我們在决定加热的时间时是用一般加热的淬火溫度，还是要求比一般加热时更高的溫度呢？对于高頻感应加热來說，淬火溫度的确定是和一般淬火溫度有所不同的。高洛文（Г. Ф. Головин）[1] 曾提出如下数据：

鋼 号	爐內一般 加 热	以一定速度加热的淬火溫度			
		100°C/秒	250°C/秒	400°C/秒	500°C/秒
40	840～860	850～900	880～920	930～980	960～1020
45	810～830	830～880	860～910	900～950	930～1000
50	820～840	810～850	830～880	870～920	900～960
У8	790～820	780～820	780～850	780～860	820～920
У12	760～780	780～820	780～850	780～860	820～920
40Х	850～870	830～880	860～920	900～960	950～1000
50Г	820～840	810～850	830～880	870～920	900～960
45Г2	830～850	810～850	830～880	870～920	900～960
50ХГ	830～850	810～850	830～880	870～920	900～960
ХВГ	800～830	830～870	860～900	880～920	900～950

从数据中可以看出，鋼种不同，加热速度不同，引起淬火溫度一般的有所提高，同时溫度范围也比较寬。所以造成这样的原因主要是由于奥氏体轉变是在一个溫度范围内进行，而这个溫度范围是随着加热速度的提高而升高〔2、3、4、5〕。另一方面轉变为奥氏体的速度是随着加热溫度的提高而剧烈加速〔6〕，因而在快速加热沒有保溫的条件下，虽然成分不能完全均匀〔7〕，但轉变是可以完成的。但是在爐內快速加热情况下，加热速度比感应加热要低得多，一般的小于 $10^{\circ}\text{C}/\text{秒}$ ，而和感应加热同样的沒有保溫時間，那末淬火溫度究竟如何選擇才較恰当，过去还没有这方面的資料可查，需要进行試驗加以解决。

然而提高处理溫度对于奥氏体晶粒長大的影响如何呢？高頻感应加热的淬火組織是不造成晶粒粗大的，根据烏曼斯基(Уманский)等人〔6〕的解釋是由于加热速度很大时，溫度提高可大大縮短起始晶粒細化的高溫時間，可以保持起始晶粒不致長大，但是在爐內快速加热的情况下，在高溫時間較長要使晶粒不致長大就要对選擇工件淬火溫度加以适当的从轉变完成与晶粒長大两方面来考虑，这样在生产中推行快速加热时，确定加热時間系数有了一定的淬火溫度作为准繩。

三 試驗過程与結果

1 主要設備

- (1) Siemans 箱式电爐 9 KW 最高溫度 1350°C 。
- (2) Bvk 高溫电盐爐 30 KVA，盐的成分为 70% BaCl + 30% NaCl。
- (3) EPP-09 型自动記錄电子定位溫計 0.5 級。
- (4) 測量表面溫度裝置。

如圖 1 所示，在試样 1 的横向中間鑽孔到对边离开表面約 2 公厘处，孔的直徑上面为 20 公厘，下面为 6 公厘并将黑鐵管 2 用絲扣装到工件上。热电偶套在瓷管內并縛在細鐵棒 3 上，鐵棒上

端装有定位螺絲帽6，再裝固定螺絲帽7与接綫圓盤8，从接綫圓盤上接出补偿導線4，和導線到EPP-09電子電位計上去。在鐵管外纏以石棉繩并塗以耐火泥，然后烘干。試樣加热前将熱電偶鉄棒插入鐵管內，按照鐵管和試樣上的孔深将定位螺絲帽放在一定位置上，用固定螺絲帽轉在鐵管上将熱電偶壓緊接触于試樣孔內。

(5) 冷却水槽、油槽。

2 試驗方法 为了确定在爐內快速加热时鋼种淬火的表面溫度，我們用箱式电爐与盐爐来进行試驗，爐溫采取960~980°C和1060~1080°C，这样就可以获得四种不同的加热速度，然后選擇一般加热所用的淬火溫度

以及提高50°C的淬火表面溫度来从金相組織中觀察其差別，主要是組織的轉变完全与否，以及是否細化。

鋼种选择基本上按照亞共析鋼，过共析鋼与合金鋼，結合天津拖拉机厂所提的鋼种来試驗，我們采用了45，Y10，XBT三种。

按照我們爐子尺寸，根据長度为直徑的3~5倍的原則，所用試樣为圓形，直徑为35公厘，長度为120~150公厘，为了印証所得的加热時間系数，我們又采取了20~25公厘的圓形試棒按所得的加热時間系数来加热，檢查其結果。

以上各种鋼种的試樣，在同样条件下均試驗三个或两个，以資核对。

試驗进行时由EPP-09電子電位計記錄試樣的升溫曲綫，同

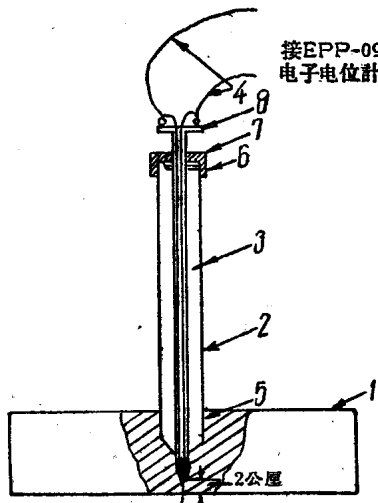


圖 1

时利用秒表測定其达到淬火表面溫度的时间互相印証。

3 原材料的处理 原材料中除 Y10 及 XBG 情況尙可外, 45

原材料的化学成分与金相組織

鋼 号	化 學 成 分							显 微 組 織
	C	Mn	Si	P	S	Cr	W	
45	0.44~ 0.46	0.60	0.21~ 0.22	0.017~ 0.018	0.023~ 0.027			Φ十II輕微魏氏組織中心帶狀組織較嚴重并有見綫, 本質晶粒度2~5級
Y10	1.11~ 1.13	0.19~ 0.20	0.23					大部分球化, 个别部分仍有片狀 Fe_3C 存在, 本質晶粒度為1~5級
XBG	1.03	0.91				1.10	1.80	碳化物与李氏体, 碳化物偏析由材料邊緣到中心逐漸嚴重, 碳化物偏析為4級, 碳化物稍有球化, 本質晶粒程度為4~5級

鋼存在的严重帶狀偏析我們曾加以 950°C 保溫 3 小時室冷的正火處理, 帶狀偏析基本消除, 如圖 2, 3 所示。

4 試驗結果 在 9KW 箱式電爐與 30 KVA 的高溫鹽爐中, 在 960~980 °C 與 1060~1080 °C 的爐溫時, 對於 35 公厘直徑試樣的平均加熱速度如表 1 所示。

以上三种鋼的加熱速度來看有这样的傾向即加熱到同样的表面溫度 Y10 与 XBG 的平均

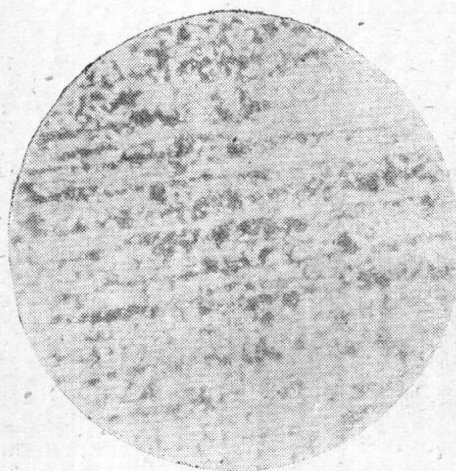


圖 2 处理前。

90 × (1451)

加热速度要比 45 鋼低，而表面溫度要求越高，則平均加热速度也就越低，同时 45 鋼表面溫度提高 50°C 时，平均加热速度的降低，要比 Y10 与 XBT 同样提高 50°C 的平均加热速度的降低要大些，因此加热時間系数的确定固然与爐型有关，同时也与要求的表面溫度鋼种均有关系，按照所得的数据，应

与含炭量及含金元素等有关。

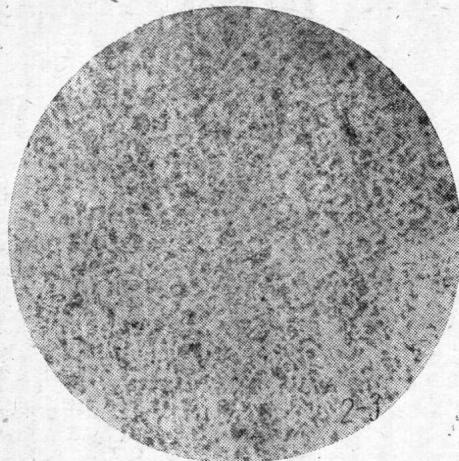


圖 3 处理后。

90×(1452)

5 不同的加热時間系数表面溫度与显微組織的关系

鋼 号	加热時間 系数 (秒/公厘)	表面溫度 (°C)	淬硬層 显微組織
45	18	850	表層非結構M稍進 M23 級有少量純鐵體
45	26.1	900	馬氏体为 2 級，一般为 4 級如圖 4，7
45	12.4	850	表層馬氏体为 1~2 級，一般为 2~3 級少量点狀純鐵體
45	12.86	900	表層為非結構M一般為較均匀的 3 級M
45	3.66	850	表層為非結構M一般為 2~3 級M
45	4.7	900	1 級M
45	2.8	850	表層為非結構M一般為 1~2 級
45	3.4	900	表層為非結構M一般為 3~4 級
去10	19	790	表層為 1 級M碳化物成較大塊狀分布少量殘余A
去10	22.6	850	表層為非結構M塊狀碳化物很少，多為小點分布有較多殘余A。一般為 3 級M(如圖 5)
去10	13	790	表層為 1 級M一般為 3~4 級M，塊狀碳化物較少而點狀較多殘余A 少
去10	14	850	表層為 2 級M少量點狀碳化物一般為 4~6 級M殘余A 較多，碳化物極少
去10	3.1	790	1 級M與粒狀碳化物

續

鋼 號	加熱時間 系 數 (秒/公厘)	表面溫度 (°C)	淬 硬 層 显 微 組 織
去10	4.12	850	1級M與少量粒狀碳化物
去10	2.6	790	表層為非結構馬氏體與少量塊狀碳化物，一般為2級 馬氏體與小塊狀碳化物及粒狀碳化物
去10	3.04	850	2級M十較多粒狀碳化物
XBF	19.9	830	表層1級M碳化物質點很多有殘余A分布均勻
XBF	22.7	880	非結構M但M含碳量不均勻碳化物量同上有殘余A
XBF	14.3	830	非結構馬氏體碳化物成小質點分布(如圖6)
XBF	14.2	880	非結構M碳化物質點較少馬氏體含碳量不均
XBF	4.33	830	非結構M碳化物質點較少馬氏體含碳量不均
XBF	4.8	880	非結構M碳化物質點較少馬氏體含碳量不均
XBF	2.85	830	非結構馬氏體與少量未溶碳化物
XBF	3.44	880	非結構馬氏體與少量未溶碳化物

表 1

鋼 號	爐 型	功 率	爐 溫 (°C)	表 面 溫 (°C)	到 達 時 間	平 均 加 熱 速 度 (°C/秒)	加 熱 系 數 (秒/公厘)
45	KO11	9KW	960~980	850	10'30"	1.35	18
45	KO11	9KW	960~980	900	15'13.5"	0.985	26.1
去10	KO11	9KW	960~980	790	11'9"	1.18	19
去10	KO11	9KW	960~980	850	13'10"	1.07	22.6
XBF	KO11	9KW	960~980	830	11'37.4"	1.19	19.9
XBF	KO11	9KW	960~980	880	13'16.5"	1.1	22.7
45	KO11	9KW	1060~1080	850	7'12"	1.97	12.4
45	KO11	9KW	1060~1080	900	7'30"	2	12.86
去10	KO11	9KW	1060~1080	790	7'27"	1.77	13
去10	KO11	9KW	1060~1080	850	8'10"	1.74	14
XBF	KO11	9KW	1060~1080	830	8'21.4"	1.56	14.3
XBF	KO11	9KW	1060~1080	880	8'17.6"	1.77	14.2
45	BVK	30KVA	960~980	850	2'8"	6.65	3.66
45	BVK	30KVA	960~980	900	2'44.5"	5.5	4.7
去10	BVK	30KVA	960~980	790	1'48.6"	7.3	3.1
去10	BVK	30KVA	960~980	850	2'24.7"	5.88	4.12
XBF	BVK	30KVA	960~980	830	2'31.5"	5.5	4.38
XBF	BVK	30KVA	960~980	880	2'47.5"	5.25	4.8

(續)

鋼 号	爐 型	功 率	爐 温 (°C)	表 面 温 度 (°C)	到 达 时 间	平均加 热速度 (°C/秒)	加 热 系 数 秒/公厘)
45	BVK	30KVA	1060~1080	850	1'37.5"	8.74	2.8
45	BVK	30KVA	1060~1080	900	1'58.7"	7.58	3.4
去10	BVK	30KVA	1060~1080	790	1'31.2"	8.68	2.6
去10	BVK	30KVA	1060~1080	850	1'46.5"	7.96	3.04
XBF	BVK	30KVA	1060~1080	830	1'40.7"	8.25	2.85
XBF	BVK	30KVA	1060~1080	880	1'59.2"	7.35	3.44

以上結果指出，在快速加热的情况下，淬火溫度在50°C范围内变动，基本上对于組織的轉变完全以及晶粒細化方面，沒有什么影响，这与在高溫时轉变所需的时间極短（如0.83的炭鋼在800°C



圖 4 630 X 3% 硝酸酒精侵蝕表層稍進的淬火層組織。



圖 5 630 X 3% 硝酸酒精侵蝕表層稍進的淬硬層組織。

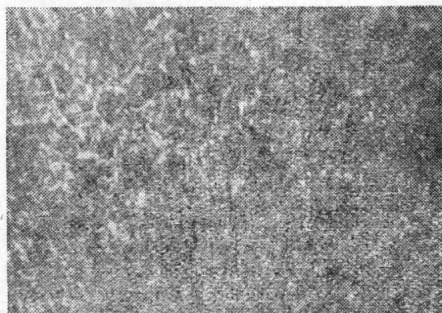


圖 6 630X 3 % 硝酸酒精侵蝕表層稍進的淬硬組織。



圖 7 630X 3 % 硝酸酒精侵蝕邊部表面層組織。

時轉變立即開始一秒鐘內即可轉變完結)和在高溫時停留時間短，可以保持起始晶粒大小有關〔6〕，但是為了更好的使奧氏體均勻化，淬火溫度採取較高亦即加熱時間系數採取較高為合適。

尺寸對於加熱時間系數的影響 為了考驗所得的加熱時間系數對於較小直徑的適用性，我們就去 10 與 45 鋼採取 25 公厘和 20 公厘兩種直徑，分別在箱式電爐與鹽爐中以爐溫 960~980°C 和 1060~1080°C，按已得的加熱時間系數加熱淬火，進行顯微組織檢查所得結果如下表。

表中指明以前所求出的加熱時間系數對於不同直徑鋼材，從所得的顯微組織來看是適用的，只是對於 45 鋼來說所得的組織稍粗，但並不顯示過分粗大，可以看出在一定的範圍內尺寸對於加

鋼號	試樣尺寸	爐型	爐溫 (°C)	加熱時間 系數 (秒/公厘)	淬硬層顯微組織
去10	BVK鹽爐	Ø25×75	960~980	3.1	非結構馬氏體碳化物質點很細分佈在馬氏體基體上
去10	BVK鹽爐	Ø25×75	960~980	4.12	非結構馬氏體碳化物質點很細，分佈尚均勻
去10	BVK鹽爐	Ø25×75	1060~1080	2.6	表層非結構馬氏體稍進行為3級 馬氏體有較多的殘余A碳化物 質點很小，分佈尚均勻
去10	BVK鹽爐	Ø25×75	1060~1080	3.04	4級馬氏體碳化物質點有聚集現象
去10	KO11	Ø25×75	960~980	19	表層為非結構馬氏體與少量碳化物，一般馬氏體為一級
去10	KO11	Ø25×75	960~980	22.6	表層為1~2級馬氏體稍進行為 3~4級馬氏體碳化物質點較少
去10	KO11	Ø25×75	1060~1080	12.8	表層為非結構馬氏體，稍進行為 3~4級馬氏體
去10	KO11	Ø25×75	1060~1080	13.7	馬氏體為3級並有碳化物及殘余 奧氏體
45	BVK鹽爐	Ø20×60	960~980	3.66	馬氏體為3級
45	BVK鹽爐	Ø20×60	960~980	4.7	3級馬氏體(如圖8)
45	BVK鹽爐	Ø20×60	1060~1080	2.8	表層為非結構馬氏體一般馬氏體 為3級
45	BVK鹽爐	Ø20×60	1060~1080	3.4	馬氏體為4級
45	BVK鹽爐	Ø20×60	960~980	18	馬氏體為3級
45	BVK鹽爐	Ø20×60	960~980	26.1	4級馬氏體
45	BVK鹽爐	Ø20×60	1060~1080	12.3	6級馬氏體
45	BVK鹽爐	Ø20×60	1060~1080	12.86	6級馬氏體



圖8 630× 3% 硝酸酒精侵蝕，淬硬層組織。

热时间系数的影响不致很大。

四 結 語

1. 加熱時間系數根據爐型爐溫不同而不同，也因鋼種與所要求的表面溫度不同而異。

2. 從顯微組織來考慮，所有 45, Y10 與 XBT 無論在箱式電爐或鹽爐中進行快速加熱時，均可按所要求的表面溫度來找出加熱時間系數，我們提出的系數與表面溫度的對照表如下：

鋼號	爐 型	爐 測 (°C)	表 面 溫 度 (°C)	加熱時間系數 (秒/公厘)	備 注
45	KO11	960~980	850~900	18~26.1	
45	KO11	1060~1080	850~900	12.4~12.86	
45	BVK 盐爐	960~980	850~900	3.66~4.7	
45	BVK 盐爐	1060~1080	850~900	2.8~3.4	
Y10	KO11	960~980	790~850	19~22.6	
Y10	KO11	1060~1080	790~850	13~14	
Y10	BVK 盐爐	960~980	790~850	3.1~4.12	
Y10	BVK 盐爐	1060~1080	790~850	2.6~3.04	
XBT	KO11	960~980	830~880	19.9~22.7	
XBT	KO11	1060~1080	830~880	14.2~14.3	
XBT	BVK 盐爐	960~980	830~880	4.3~4.8	
XBT	BVK 盐爐	1060~1080	830~880	2.85~3.44	

我們的試驗室數據與工廠現行的数据比較，可以認為在鹽爐中加熱時基本上在工廠現行規範的範圍內，而在箱式爐內加熱時，數據相差較遠，我們舉出如下的數據為例：

厂 名	鋼 号	爐 型	爐 測	加熱時間系數 (秒/公厘)		備 注
				Ø10 以下	Ø10~60	
天津拖拉機廠	滲碳的零件 碳工具鋼	鹽 爐	960~980	6~7	3~6	[8]
	碳結構鋼， 合金結構鋼 合金工具鋼	鹽 爐	960~980	7~9	6~8	
	各種鋼料	反 射 爐	960~980	20~25		
	各種鋼料	箱 式 电 爐	960~980	25~30		